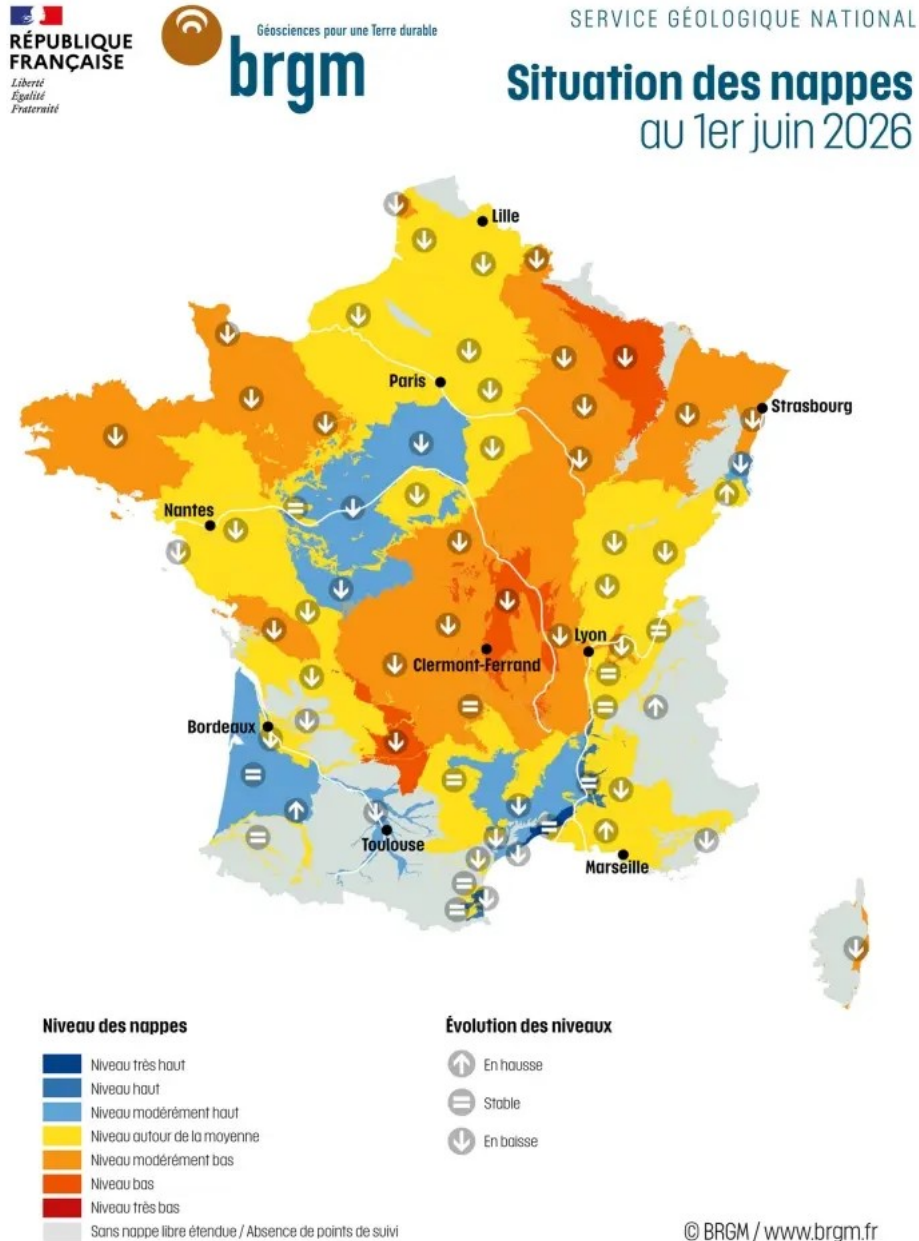


# Quelques news de géologie - Juin 2026

## Nappes d'eau souterraine au 1<sup>er</sup> juin 2026



Cette carte présente les indicateurs globaux traduisant les fluctuations moyennes des nappes. Ils sont établis à partir des indicateurs ponctuels relevés au niveau des nappes (piézomètres). L'indicateur « Niveau des nappes » compare le mois en cours par rapport aux mêmes mois de l'ensemble de la chronique, soit au minimum 15 ans de données, et jusqu'à plus de 100 ans. Il est réparti en 7 classes, du niveau le plus bas (en rouge) au niveau le plus haut (en bleu foncé). L'indicateur « Évolution des niveaux » traduit la variation du niveau d'eau du mois échu par rapport aux 2 mois précédents (stable, à la hausse ou à la baisse).

Carte établie le 04 juin 2026 par le BRGM, à partir de données acquises jusqu'au 31 mai 2026. Source des données : ADES (ades.aufrance.fr) / Hydroportal (hydro.aufrance.fr) / Fond de carte © IGN. Producteurs de données et contribution : AFRONA BRGM, Conseil Départemental de la Vendée, Conseil Départemental des Landes, Conseil Départemental du Lot, EPTB Vézère Vistrenque, Parc Naturel Régional des Grandes Causses, Syndicat Mixte d'Etudes et de Travaux de l'Astien (SMETA), Syndicat Mixte pour la protection et la gestion des nappes souterraines de la plaine du Roussillon (SMNPR).

La vidange observée au mois d'avril se poursuit au mois de mai. Les niveaux piézométriques des nappes phréatiques présentent des tendances à la baisse généralisée sur la quasi-totalité du territoire national. Ce phénomène s'explique par un déficit de pluie efficace pour ce mois de mai sur tout le territoire avec notamment une sécheresse plus marquée pour la 2<sup>e</sup> quinzaine de mai. A noter que seuls les territoires du nord du Massif armoricain, des reliefs cévenoles, alpins et du Jura présentent une pluie efficace légèrement excédentaire liée aux pluies de début mai.

Les données recueillies en mai 2026 révèlent que la vidange s'opère sur 77% des points d'observation, caractérisés par des niveaux en décroissance. Les niveaux sont stables pour 15% des points et sont à la hausse

pour 8% d'entre eux. L'intensité de la vidange apparaît légèrement plus marquée que celle de mai 2025.

### Nappes inertielles

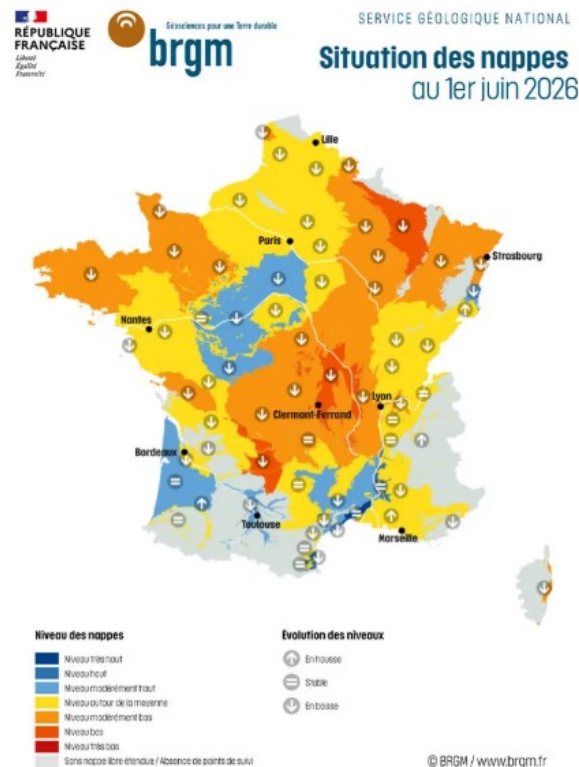
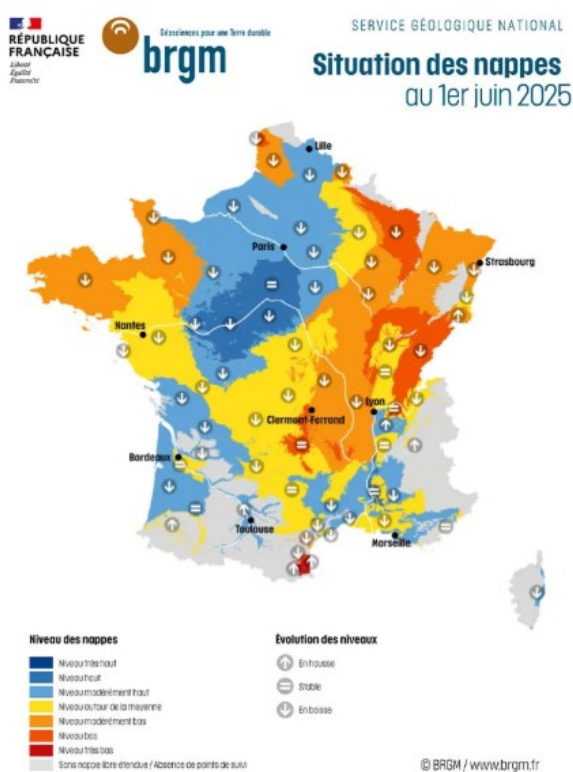
En mai 2026, les nappes à forte inertie, qui avaient commencé leur vidange, voient leur niveau continuer à baisser. C'est le cas des nappes des calcaires de Beauce, de l'Artois, de Normandie, du Lutétien et des sables yprésiens du Bassin parisien.

La nappe des formations de la Bresse et de la Dombes dont le niveau s'était stabilisé en avril a vu sa dynamique changer et son niveau baisser.

Les autres nappes dont les niveaux s'étaient stabilisés ou en hausse n'ont pas changé de dynamique. C'est le cas des nappes des calcaires de l'Armagnac, des cailloutis du Sundgau, des formations fluvio-glaciaires de l'est lyonnais, du Dauphiné et de l'avant pays savoyard.

### Nappes réactives

L'absence ou la faible réaction aux pluies de début mai et le déficit de pluie efficace de la 2ème quinzaine de ce mois ont permis la poursuite de la vidange. La quasi-totalité des nappes présentent des niveaux à la baisse. Seuls les niveaux des nappes alluviales des vallées des Alpes, de celles de la Durance ont une tendance à la hausse. Les nappes des formations du Bassin aquitain, des alluvions de l'Adour et gave de Pau, du Rhône inférieur, des calcaires du Massif des Corbières, des sables de la plaine du Roussillon, du socle des Cévennes, des formations volcaniques du Massif central et des formations de la Vistrenque voient leur niveau se stabiliser.



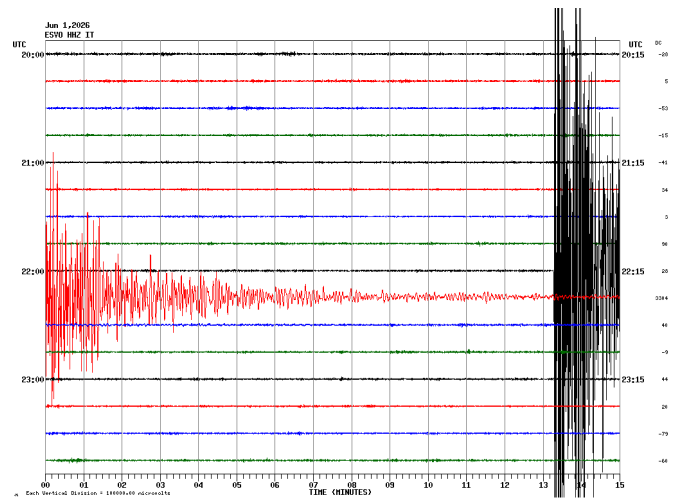
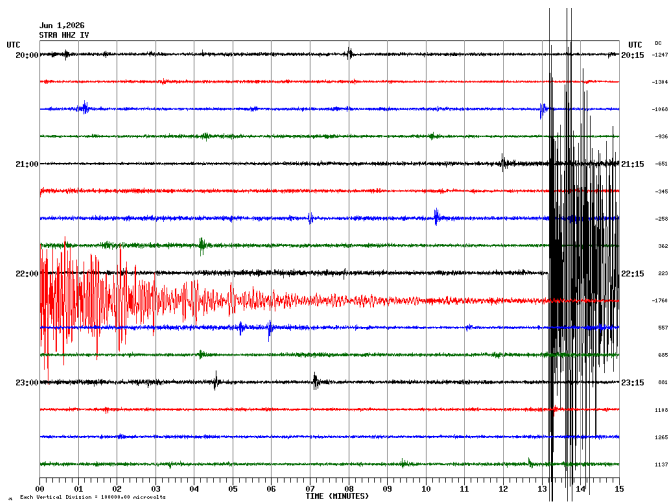
Carte de France hexagonale de la situation des nappes au 1<sup>er</sup> juin 2025 (à gauche) et au 1<sup>er</sup> juin 2026 (à droite) © BRGM

Source : [Nappes d'eau souterraine au 1er juin 2026 | BRGM](#)

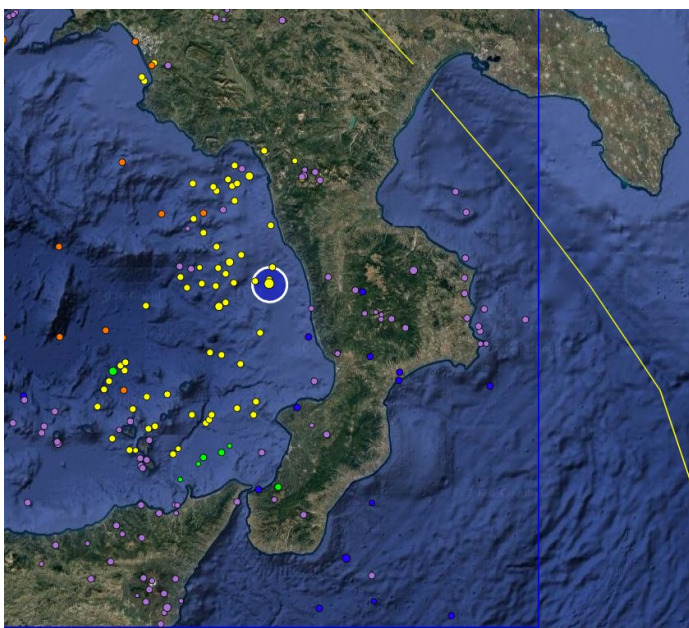
## Quand la Terre tremble

### Séisme en Italie

Un séisme inhabituel de magnitude 6,2 et à grande profondeur - 243 km - s'est produit le 2 juin vers 22h15 que les sismomètres de l'Etna et du Stromboli (voie verticale) ont bien enregistré (voir ci-dessous).



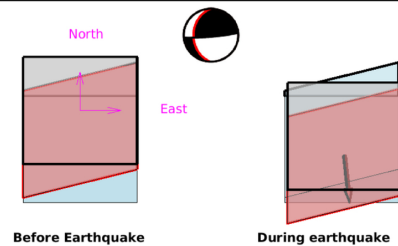
Enregistrements sismiques (voie verticale) du Stromboli (à gauche) et de l'Etna (à droite) montrant le séisme qui débute très brutalement à 22h13mn 20s.



Localisation du séisme

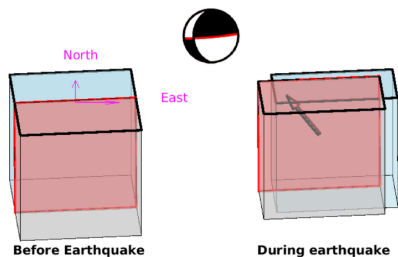
SOUTHERN ITALY, 2026/06/01-22h12m36s  
Earthquake mechanism on the two possible fault planes  
IPGP

FAULT PLANE 1



Left-lateral movement on a 36° W dipping fault.  
Fault azimuth is orientated S-N (strike = 180°).

FAULT PLANE 2



Right-lateral and inverse oblique movement on a 86° S dipping fault.  
Fault azimuth is orientated E-W (strike = 85°).

Hypothèses de mécanisme au foyer

Sources : [Geoscope - Earthquake description](#)

[Segnali sismici](#)

[Interactive Earthquake Browser - us7000spxm](#)

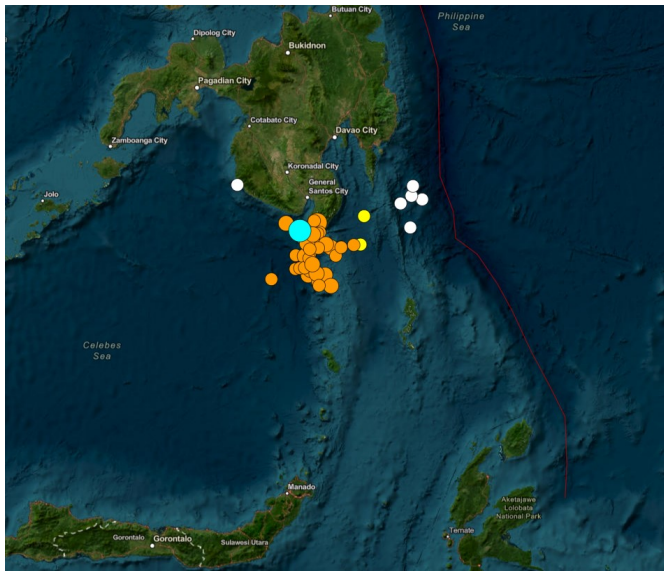
[Earthquake information](#)

### Séisme aux Philippines

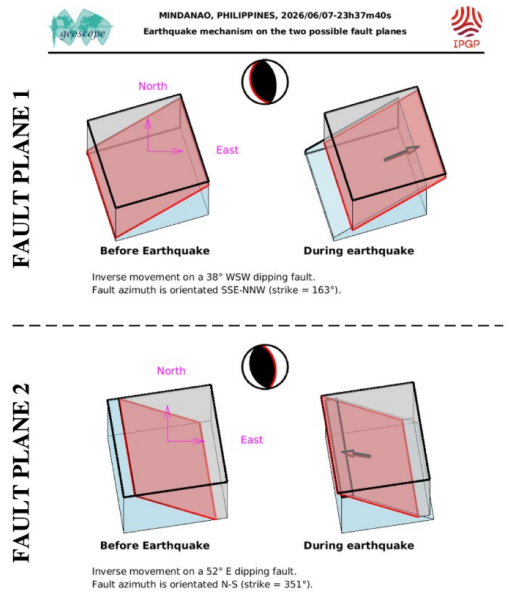
Le séisme de magnitude M 7,8 du 7 juin 2026 à 23h37 (TU) et à 55 km de profondeur, au sud de l'île de Mindanao, aux Philippines, a été causé par des failles de chevauchement. La profondeur du séisme et l'estimation du tenseur de moment indiquent que l'événement s'est produit dans la zone complexe de déformation active associée à la subduction vers l'ouest de la plaque philippine sous la plaque de la Sonde. Le nord-est de l'Indonésie et le sud des Philippines se caractérisent par une tectonique complexe dans laquelle les mouvements de nombreuses petites plaques permettent la convergence à grande échelle entre la mer des Philippines et les plaques de la Sonde. Au niveau de ce séisme, la plaque philippine se dirige vers la Sonde à 7,3 cm/an.

Bien qu'ils soient couramment tracés en points sur des cartes, les séismes de cette ampleur sont plus justement décrits comme des glissements répartis sur une large zone de faille. Les événements de faille de chevauchement de la taille du séisme du 7 juin mesurent généralement environ 120 x 50 km (longueur x largeur).

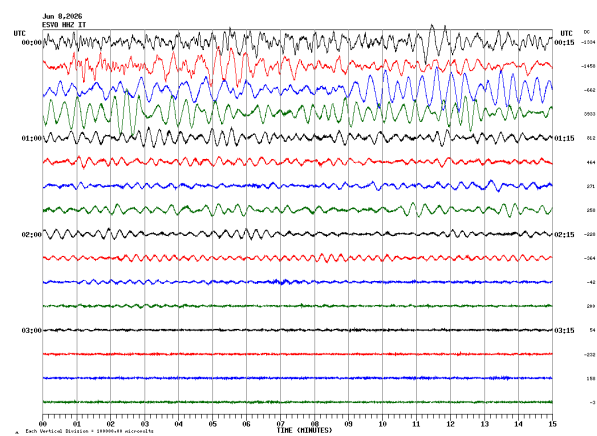
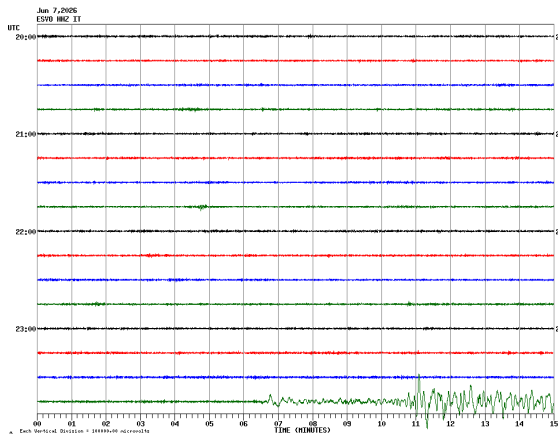
La région autour de ce séisme est tectoniquement active et de grands séismes sont fréquents. Depuis 1900, 35 séismes d'une magnitude M 7+ se sont produits dans un rayon de 300 km autour de cet événement. Le plus important fut un séisme de magnitude 8,3 le 15 août 1918, survenu à 118 km à l'ouest. Plus récemment, un événement de magnitude 7,4 s'est produit le 10 octobre 2025, à 260 km au nord-est, causant plus de dix décès. Ce séisme est à l'origine de nombreux dégâts matériels ainsi que de plusieurs dizaines de décès.



Localisation du séisme



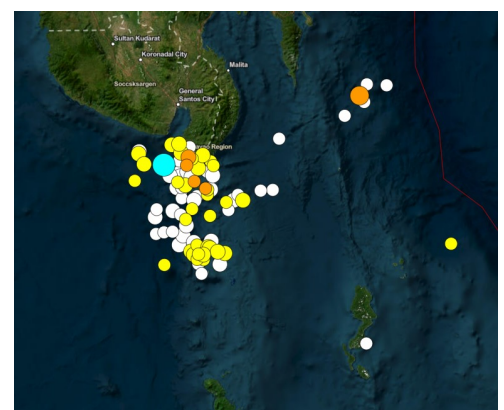
Hypothèses de mécanisme au foyer



Enregistrements sismiques (voie verticale) du Stromboli du séisme qui débute ici à 23h51mn30s (soit environ 14 mn plus tard) et dont les effets sont perceptibles jusqu'à environ 03h00 (TU)

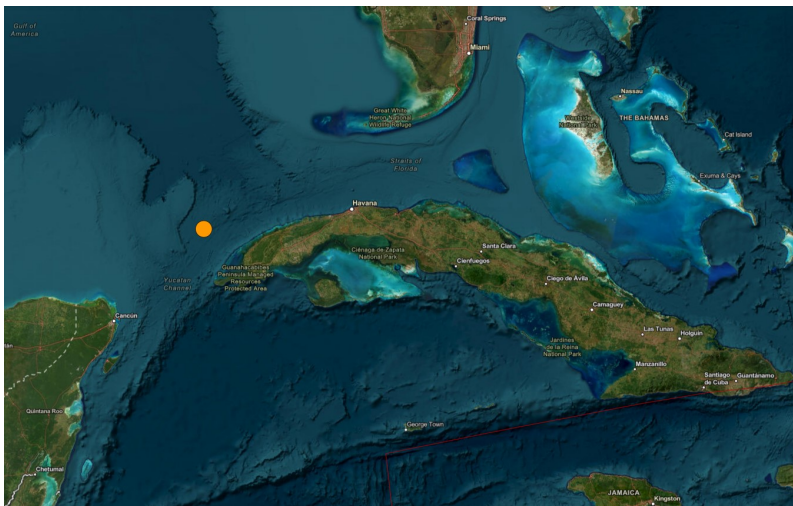
De très nombreuses répliques ont été enregistrées (voir ci-contre, au 16 juin, en bleu le séisme principal, en orange ceux des dernières 24h, en jaune ceux de la semaine écoulée et en blanc ceux du mois écoulé).

Sources : [Geoscope - Earthquake description](#)  
[M 7.8 - 26 km SW of Kablalan, Philippines](#)  
[Segnali sismici](#)



## Séisme à l'Ouest de Cuba

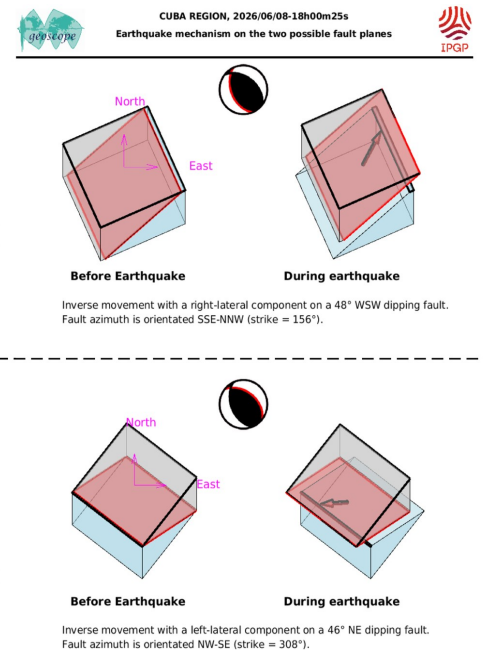
Le séisme de magnitude 6,1 du 8 juin 2026 près de la côte ouest de Cuba s'est produit sur une faille inverse à une profondeur de 26 km. Le mécanisme de faille est cohérent avec le fait que le séisme s'est produit soit sur une faille inverse à pendage nord-ouest ou sud-est. Le tremblement de terre s'est produit sous le golfe d'Amérique, dans la plaque nord-américaine. Séisme intraplaque, cet événement s'est produit à 400-450 km au nord de la limite active la plus proche entre les plaques d'Amérique du Nord et de la mer des Caraïbes. Les séismes intraplaques se produisent à l'intérieur des plaques tectoniques, et comme ils sont éloignés des déformations courantes aux frontières actives, ils se produisent moins fréquemment. Les séismes intraplaques se produisent généralement sur des systèmes de failles associés à des épisodes antérieurs d'évolution tectonique, où continuent de s'accumuler et de libérer des contraintes sur de longues périodes par rapport à ceux situés le long des frontières actives des plaques. Aucun séisme de magnitude 5 ou plus n'a été enregistré instrumentalement à proximité du séisme actuel (dans un rayon de 250 km). Il s'agit du plus grand séisme instrumentalement enregistré dans le golfe d'Amérique depuis 1950. En 1880, un tremblement de terre d'environ M 6,0 s'est produit près de San Cristobal, à Cuba, et a été ressenti en Floride. Le tremblement de terre de 1880 a entraîné des dégâts de bâtiments et des décès à Cuba.



Localisation du séisme

Sources : [M 6.1 - 104 km WNW of Mantua, Cuba](#)  
[Geoscope - Earthquake description](#)

## Séismes au Venezuela



Hypothèses de mécanisme au foyer

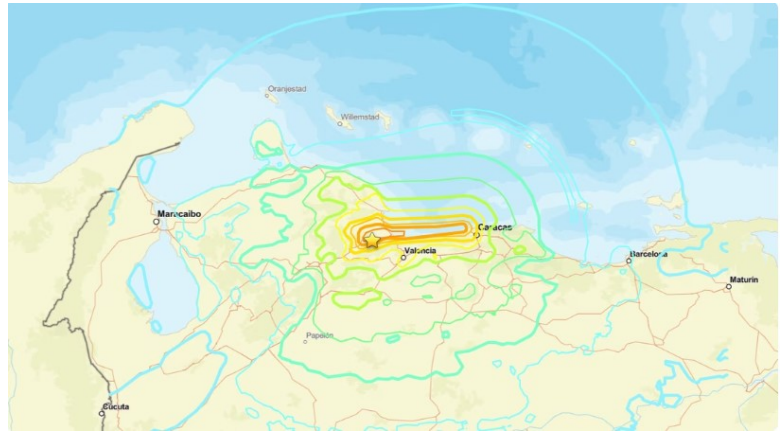
Deux séismes de magnitude 7,2 et 7,5 se sont produits le 24 juin 2026, vers 22h05, à environ une minute d'intervalle (doublet). Les dégâts matériels sont importants et le nombre de victimes élevé.

Le séisme de magnitude M 7,5 du 24 juin 2026, au sud-est de Yumare, au Venezuela, s'est produit à la faveur de failles décrochantes peu profondes près de la frontière complexe entre les plaques des Caraïbes et d'Amérique du Sud. Au lieu du séisme, la plaque des Caraïbes se déplace vers

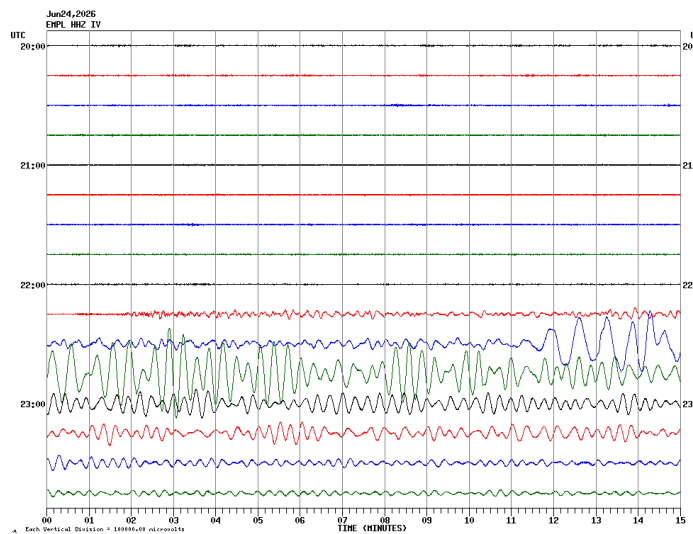
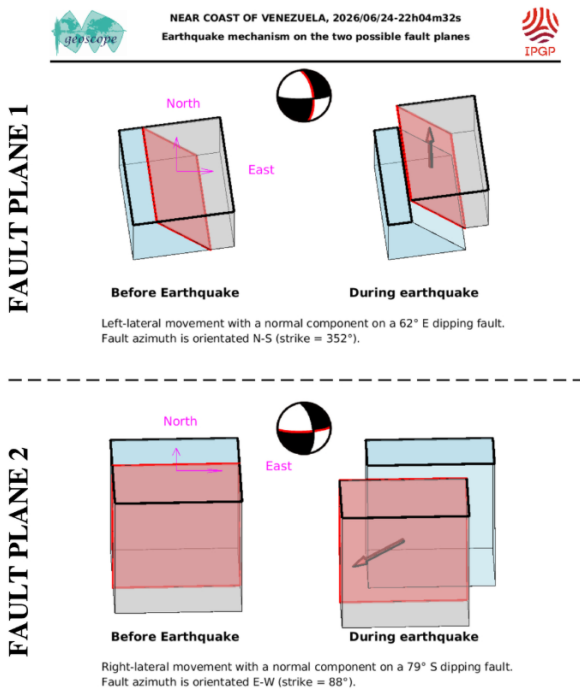
l'est par rapport à l'Amérique du Sud à un rythme d'environ 20 mm/an. Ce mouvement est principalement facilité par un important système de failles décrochantes dextres traversant le nord du Venezuela. L'emplacement du séisme, sa faible profondeur (10,0 km) et le mécanisme de déplacement latéral droit sont cohérents avec une rupture le long de ce système de limites de plaques, le long du système de failles de San Sebastian, qui s'étend le long de la côte nord du Venezuela.

Cet événement fut le principal choc d'une séquence sévère de doublets sismiques, survenant seulement 39 secondes après un pré-choc de M 7.2. Une séquence de doublets – définie comme deux séismes de magnitude similaire qui se produisent proches en temps et proximité – indique probablement un processus complexe d'interaction rupture.

Bien qu'ils soient couramment tracés comme des points sur des cartes, les séismes de cette ampleur sont plus justement décrits comme des glissements sur une faille plus vaste. Les événements de glissement de la taille du séisme du 24 juin 2026 sont généralement d'environ 150 x 20 km (voir carte des intensités ci-contre).



Carte avec épicerne du séisme du 24 juin 2026 au Venezuela et intensités des secousses ressenties. © USGS



Enregistrement sismique de l'évènement sur l'un des sismomètres de l'Etna (voie verticale). Notez l'arrivée très rapide des premières ondes (22h17)

Hypothèses de mécanisme au foyer

Sources : [M 7.5 - 28 km SE of Yumare, Venezuela](#)

[Geoscope - Earthquake description](#)

[Segnali sismici](#)

[Deux puissants séismes en 38 secondes au Venezuela : coïncidence ou cascade ? On vous explique](#)